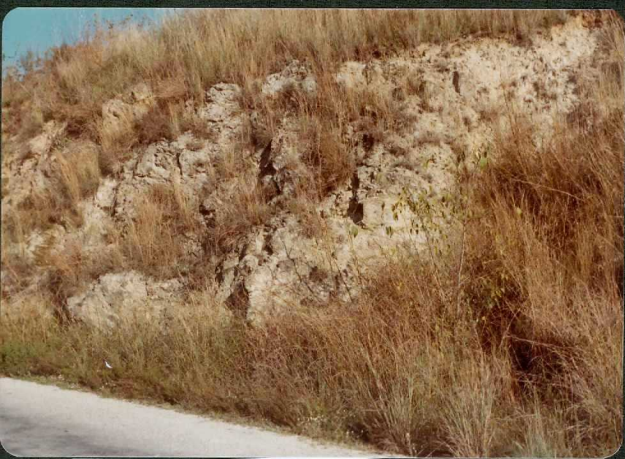




33-17-FI-CG-139-140. Panorámica de Capafons sobre las arcillas del Keuper (Tg_{23}) detrás la serie jurásica de la Sierra de la Musara



33-17-FI-CG-105. Granodiorita ($\frac{b}{p} m^2$)



53-17-FI-CG-106. Granodiorita ($\frac{b}{P} \tau n^2$)



33-17-FI-CG-107. Cantera de Granodiorita ($\frac{b}{p} \text{ m}^2$)



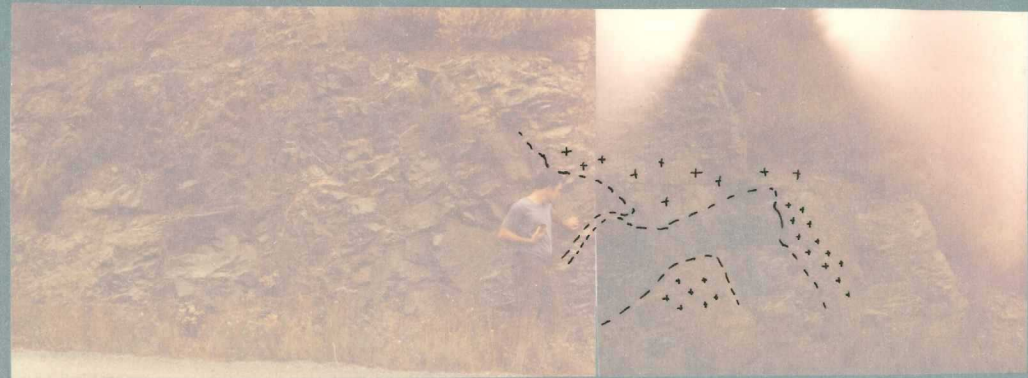
33-17-FI-CG-108. Pizarras (H)



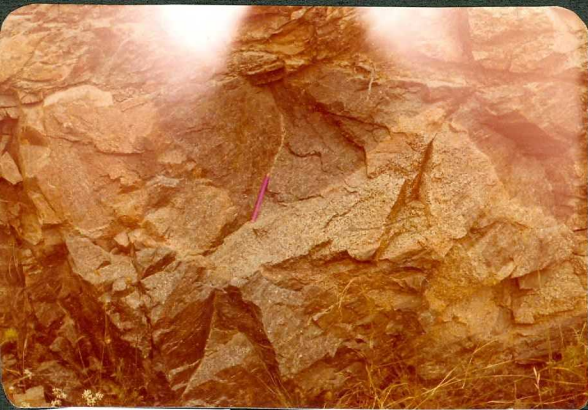
33-17-FI-CG-109. Areniscas Siliceas (H)



33-17-FI-CG-110. Dique porfídico (FO²)



33-17-FI-CG-111-112. Contacto Granodiorita-Paleozoico



33-17-FI-CG-113. Dique con borde de asimilación



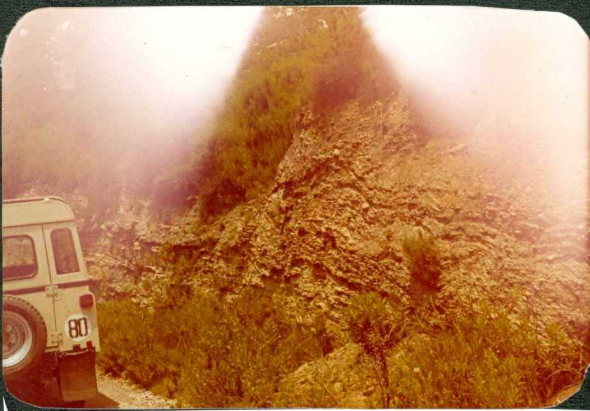
33-17-FI-CG-114. Aspecto del Paleozoico, Areniscas del Buntsandstein (Tg_1) y dolomías del Muschelkalk inf. (Tg_{21})



-FI-CG-115. Aspecto del Paleozoico, areniscas del Buntsandstein (T_{G1}) y dolomías del Muschelkalk inf. (T_{G21})



33-17-FI-CG-116. Areniscas del Buntsandstein (Tg₁)



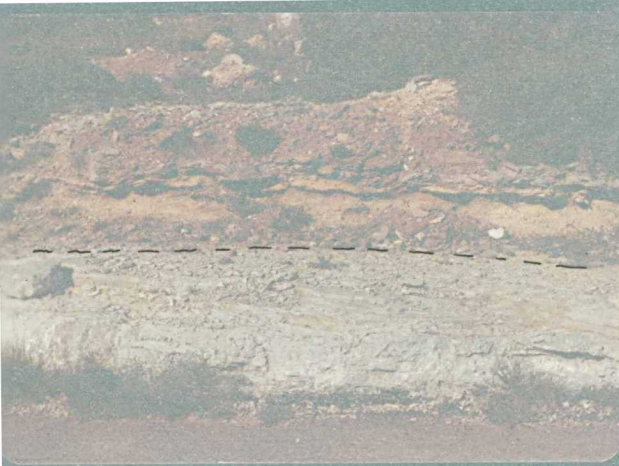
33-17-FI-CG-117. Arcillas del Buntsandstein (Tg₁)



33-17-FI-CG-118. Dolomías del Muschelkalk inf. (Tg₂₁)



·33-17-FI-CG-119. Dolomías del Muschelkalk inf. (Tg₂₁)



• 33-17-FI-CG-120. Contacto Muschelkalk inf. Muschelkalk medio
(TG₂₁ - TG₂₂)



33-17-FI-CG-121. Arcillas rojas Muschelkalk medio (T₆ 22)



7-FI-CG-122. Arcillas rojas Muschelkalk medio (Tg_{22}) al fondo
dolomías Muschelkalk sup. (Tg_{23})



-17-FL-CG-123. Dolomías del Muschelkalk superior (Tg₂₃)



-17-FI-CG-124. Dolomías del Muschelkalk superior (Tg₂₃)



7-FI-CG-125. Dolomías de Muschelkalk superior (Tg 23)



33-17-FI-CG-126. Arcillas del Keuper (Tg 3)



33-17-FI-CG-127. Arcillas del Keuper (Tg₃)



*33-17-FI-CG-128. Dolomías tableadas (J_{1d})



33-17-FI-CG-129. Dolomías tableadas (J_{1d})



33-17-FI-CG-130. Brecha dolomítica (J₁)



FI-CG-131. Brecha dolomítica (J_{1-4}) al fondo calizas dolomiti-
tizadas. (J_{1-14}^{0-2})



33-17-FI-CG-132. Calcarenitas. (J⁰⁻²
1-14)



33-17-FI-CG-133. Calcareitas (J₁₋₁₄⁰⁻²)



33-17-FI-CG-134. Calcareitas (J₁₋₁₄⁰⁻²)



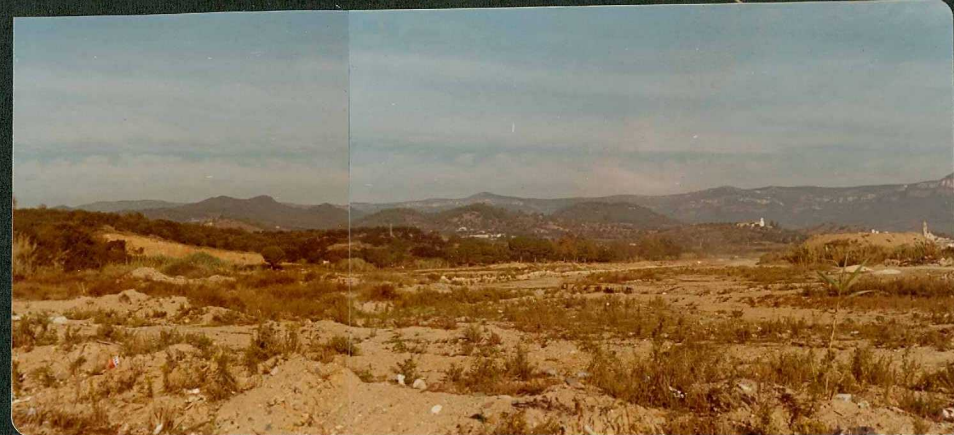
33-17-FI-CG-135. Margas arcillosas y yesos ($T_{c_2}^A$)



7-FI-CG-136-137. Margas arcillosas y yesos (T_{c2}^A) al fondo areniscas y arcillas (T_{c3}^A) y coronando la Sierra del Montsant conglomerados ($T_{c3}^{A\text{cg}}$)



17-FI-CG-138. Pizarras carboníferas(H)areniscas rojas (TG₁)
y dolomías (TG₂₁)



17-FI-CG-141-142. Panorámica de la Sierra de la Musara. En primer plano Aluvión (QAI) de la riera de Maspujols.